

บทที่ 4

ผลการวิเคราะห์

4.1 ผลการวิเคราะห์ลักษณะชั้นดิน

การจัดเรียงตัวของชั้นดินในช่วงความลึก 0 - 210 เมตร สามารถสรุปได้ดังต่อไปนี้

ก. WEATHERED CRUST มีกำลังรับแรงอัดสูงกว่าดินเหนียวอ่อน (SOFT CLAY) ความหนาไม่แน่นอนในแต่ละบริเวณโดยทั่วไป ความหนาอยู่ที่ในช่วง 0 - 2 เมตร

ข. ชั้นดินเหนียวอ่อน (SOFT CLAY) มีกำลังรับแรงอัดต่ำกว่า 5 ตันต่อตารางเมตร มีสีเทาปนดำ มีทรายเปลือกหอยทะเลปน มีช่องว่างและปริมาณน้ำในดิน (WATER CONTENT) สูง การยุบตัว (COMPRESSIBILITY) เมื่อถูกอัดสูง ความหนาประมาณ 10 - 15 เมตร

ค. ชั้นดินเหนียวแข็งชั้นที่หนึ่ง (FIRST STIFF CLAY) มีกำลังรับแรงอัดระหว่าง 5 ถึง 20 ตันต่อตารางเมตร มีสีน้ำตาลปนเหลือง ความหนาของชั้นประมาณ 5 - 10 เมตร

ง. ชั้นทรายชั้นแรก (FIRST SAND LAYER) เป็นทรายแน่นละเอียดตอนบนและหยาบขึ้นในตอนล่างตอนบนมีสีน้ำตาลและสีจางลงในตอนล่าง พบทั่วไปที่ความลึกระหว่าง 19 ถึง 44 เมตร ซึ่งแตกต่างกันไปแล้วแต่บริเวณ โดยจะลึกเมื่ออยู่ใกล้ชายฝั่งทะเลและอยู่ตื้นเมื่ออยู่ไกลจากชายฝั่ง

ต่ำกว่าชั้นทรายชั้นแรกจะเป็นชั้นดินเหนียวแข็ง (VERY STIFF TO HARD CLAY) กับชั้นทราย (DEEP SAND) สลับกันไป รูปที่ 4.1 แสดง BORE HOLE LOGS ของตัวอย่างดินจากหลุมเจาะ 12 สกาน์ที่ได้จากการเจาะสำรวจ

4.2 ผลการวิเคราะห์สมบัติดิน

ผลการวิเคราะห์สมบัติพื้นฐานของดินเหนียวแข็ง (VERY STIFF TO HARD CLAY) ที่อยู่ต่ำกว่าชั้นทรายชั้นแรก (FIRST SAND LAYER) ในช่วงความลึก 40 - 210 เมตร แสดงไว้ในตารางที่ 4.1 ซึ่งปรากฏดังนี้

4.2.1 ปริมาณน้ำในดิน (WATER CONTENT, w) พบว่ามีค่าระหว่าง 15 % ถึง 25 % โดยมีค่าลดลงเมื่อความลึกมากขึ้น

4.2.2 ขีดจำกัดและดัชนีแอตเตอร์เบิร์ก (ATTERBERG LIMIT AND INDEX) พบว่าค่าขีดจำกัดเหลว (LL) มีค่าระหว่าง 30 % ถึง 56 % ค่าขีดจำกัดพลาสติก (PL) มีค่าระหว่าง 14 % ถึง 24 % และค่าดัชนีพลาสติก (PI) มีค่าระหว่าง 12 % ถึง 42 %

เมื่อพิจารณาจากผลการวิเคราะห์พบว่า ค่าของ w_p มีค่าของส่วนเบี่ยงเบนมาตรฐาน (STANDARD DEVIATION, S.D.) ต่ำกว่าของ LL และ PL ทั้งนี้จะเป็นเพราะข้อผิดพลาดในการทดสอบหาค่า LL, PL มีมากกว่า w_p อย่างไรก็ตามพบว่าสมบัติพื้นฐานมีค่าลดลงเมื่อความลึกมากขึ้น

4.3 พารามิเตอร์ของความสามารถในการยุบตัว (COMPRESSIBILITY PARAMETERS)

ผลการวิเคราะห์พารามิเตอร์ของความสามารถในการยุบตัวในช่วงความลึก 40 - 210 เมตร แสดงไว้ในตารางที่ 4.2 ซึ่งปรากฏผลดังนี้

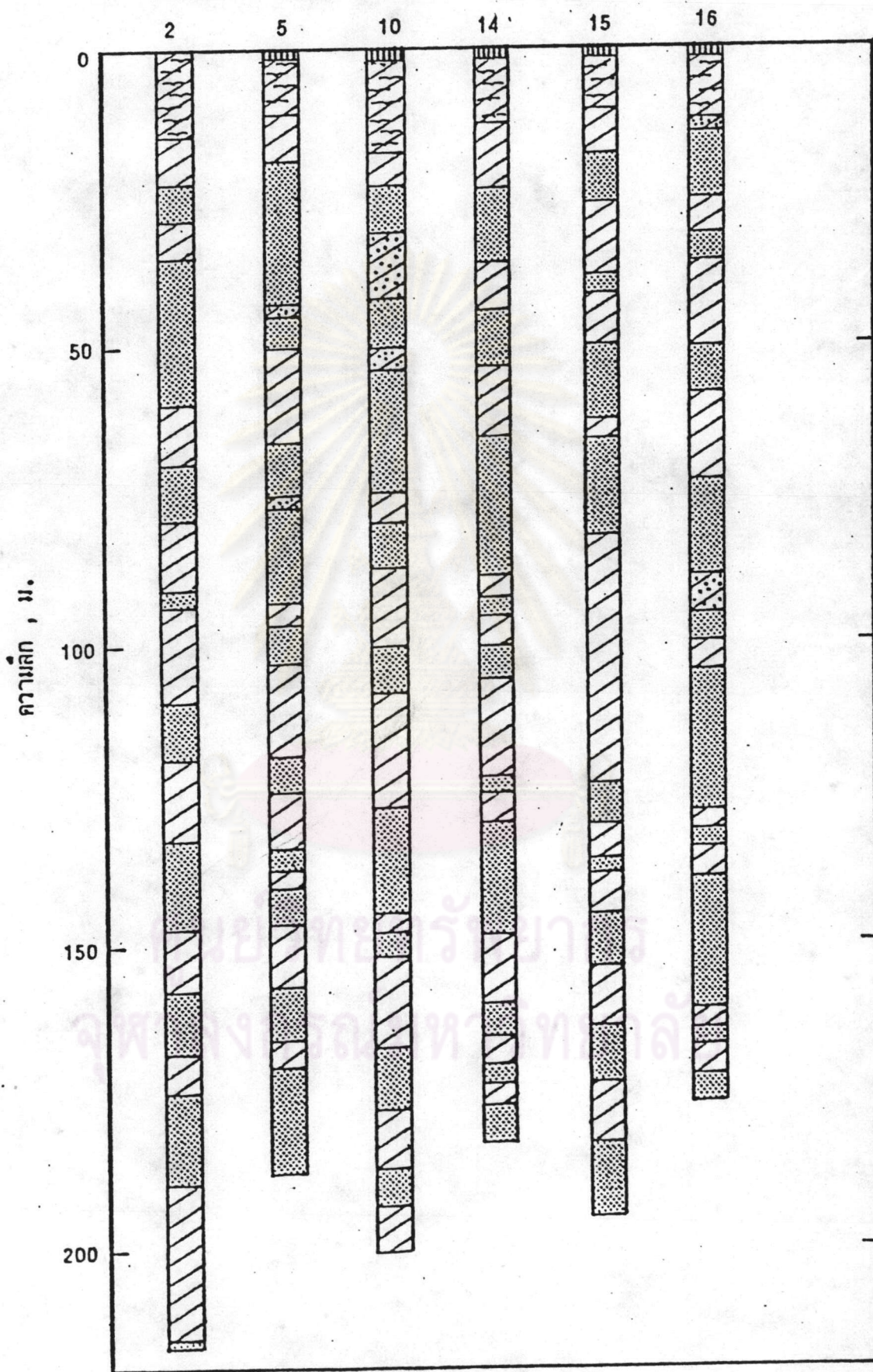
ค่าของอัตราส่วนช่องว่างเริ่มแรกของดิน (INITIAL VOID RATIO, e_0) มีค่าระหว่าง 0.495 ถึง 1.062 ค่าดัชนีการอัดแน่น (COMPRESSION INDEX, C_c) มีค่าระหว่าง 0.065 ถึง 0.270 ค่าดัชนีการอัดแน่นซ้ำ (RECOMPRESSION INDEX, C_r) มีค่าระหว่าง 0.016 ถึง 0.125 ค่าอัตราส่วนการอัดแน่น (COMPRESSION RATIO, CR) มีค่าระหว่าง 0.043 ถึง 0.201 ค่าอัตราส่วนการอัดแน่นซ้ำ (RECOMPRESSION RATIO, RR) มีค่าระหว่าง 0.011 ถึง 0.065

เมื่อพิจารณาจากผลการวิเคราะห์พบว่า การเปลี่ยนแปลงค่าของพารามิเตอร์ของความสามารถในการยุบตัวมีลักษณะเช่นเดียวกับค่าสมบัติพื้นฐานคือมีค่าลดลงเมื่อความลึกมากขึ้น

4.4 ผลการวิเคราะห์การถดถอยของดินเหนียวแข็งที่อยู่ต่ำกว่าชั้นทรายชั้นแรก

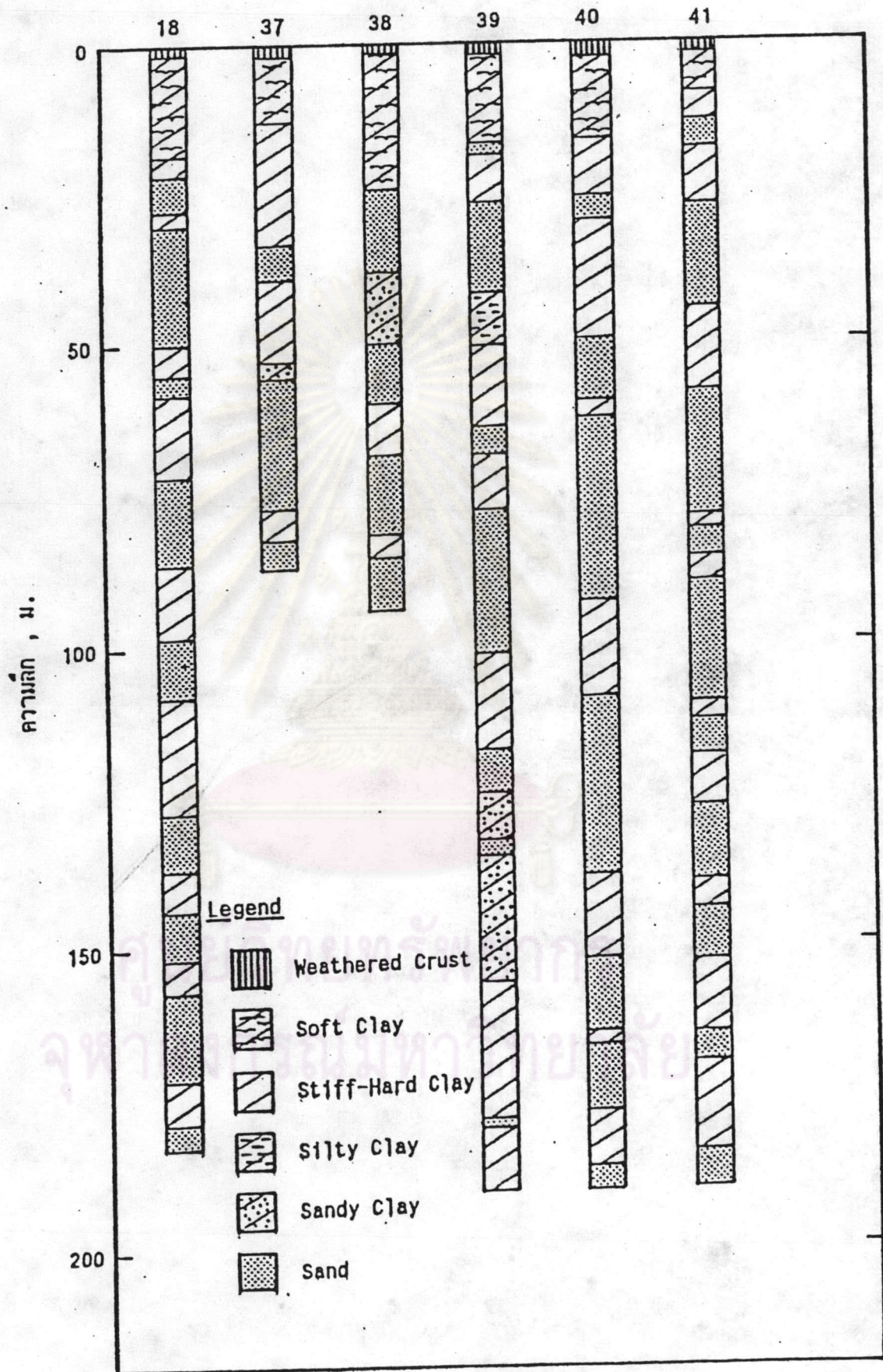
ผลการวิเคราะห์การถดถอยระหว่าง BASIC PROPERTIES กับ COMPRESSIBILITY PARAMETERS, ระหว่าง BASIC PROPERTIES กับ UNCONFINED COMPRESSIVE STRENGTH และระหว่าง BASIC PROPERTIES กับ MAXIMUM PAST PRESSURE แสดงดังตารางที่ 4.3 ถึง 4.14 ส่วนรูปที่ ข-1 ถึงรูปที่ ข-30 ในภาคผนวก ข. แสดงแผนภาพกระจาย (SCATTER DIAGRAM) เส้นการถดถอย (REGRESSION LINE) สมการถดถอย (REGRESSION EQUATION) และสัมประสิทธิ์สหสัมพันธ์ (COEFFICIENT OF CORRELATION , r) ของสมการถดถอยแบบเส้นตรง

หลุมเจาะที่



รูปที่ 4.1 แสดง Borehole Logs ของตัวอย่างดินจากหลุมเจาะ 12 สถานี

หลุมเจาะที่



รูปที่ 4.1 แสดง Borehole Logs ของตัวอย่างดินจากหลุมเจาะ 12 สถานี (ต่อ)

RANGE OF DEPTH (m)	BASIC PROPERTIES								No. of data N
	Wn %		LL %		PL %		PI %		
	MEAN	S.D.	MEAN	S.D.	MEAN	S.D.	MEAN	S.D.	
40-50	22.300	2.798	49.915	7.567	23.347	4.079	27.568	6.675	10
50-60	20.626	2.290	42.960	6.254	18.664	2.707	24.296	3.918	5
60-70	20.143	3.458	39.841	5.187	20.021	2.836	19.820	3.959	7
70-80	21.085	3.302	32.950	2.475	17.280	2.390	15.670	0.085	2
80-90	20.201	3.711	46.186	9.676	20.480	4.495	28.774	11.198	8
90-100	20.622	3.045	40.737	7.556	20.863	3.785	19.874	5.734	6
100-110	21.173	3.410	45.900	2.955	21.113	2.948	24.787	4.840	3
110-120	19.968	3.166	48.200	4.881	22.353	1.287	22.710	7.281	5
120-130	18.390	2.911	43.600	6.798	21.243	4.740	28.557	13.123	7
130-140	16.668	0.975	39.313	1.028	18.238	1.742	21.075	2.681	4
140-150	16.720	0.946	39.033	8.173	17.727	2.656	21.306	7.758	3
150-160	16.772	1.965	37.375	4.930	18.648	1.543	18.727	4.856	6
160-170	18.973	4.460	45.693	7.418	22.043	5.879	23.650	1.655	3
170-180	16.490	1.021	42.867	4.045	19.270	0.322	23.597	4.317	3
180-190	16.660	3.677	42.200	3.960	20.450	3.521	21.750	0.438	2
190-200	16.140	-	35.900	-	23.360	-	12.540	-	1
200-210	15.480	-	39.900	-	22.900	-	17.000	-	1

ตารางที่ 4.1 แสดงผลการวิเคราะห์ทางสถิติของ BASIC PROPERTIES ของดินเหนียวแข็งกรุงเทพ

ในช่วงความลึก 40-210 เมตร

RANGE OF DEPTH (m)	COMPRESSIBILITY PARAMETERS										No. of data N
	eo		Cc		Cr		CR		RR		
	MEAN	S.D.	MEAN	S.D.	MEAN	S.D.	MEAN	S.D.	MEAN	S.D.	
40-50	0.731	0.138	0.164	0.041	0.056	0.019	0.094	0.018	0.032	0.009	8
50-60	0.542	0.233	0.131	0.027	0.041	0.013	0.085	0.070	0.027	0.007	5
60-70	0.774	0.288	0.195	0.075	0.050	0.025	0.110	0.043	0.028	0.011	6
70-80	0.609	0.054	0.167	0.021	0.021	0.007	0.104	0.016	0.013	0.004	2
80-90	0.726	0.189	0.159	0.080	0.053	0.032	0.092	0.037	0.031	0.016	8
90-100	0.578	0.108	0.144	0.038	0.037	0.011	0.091	0.025	0.023	0.006	5
100-110	0.647	0.054	0.100	0.025	0.035	0.012	0.061	0.017	0.021	0.008	3
110-120	0.616	0.062	0.128	0.015	0.043	0.008	0.079	0.008	0.027	0.005	5
120-130	0.708	0.216	0.143	0.059	0.074	0.051	0.082	0.023	0.043	0.022	5
130-140	0.534	0.013	0.128	0.028	0.043	0.016	0.083	0.018	0.028	0.010	4
140-150	0.545	0.053	0.130	0.060	0.024	0.007	0.084	0.036	0.016	0.005	3
150-160	0.523	0.067	0.145	0.031	0.032	0.008	0.095	0.016	0.021	0.005	5
160-170	0.680	0.244	0.162	0.057	0.053	0.025	0.096	0.021	0.032	0.011	2
170-180	0.564	0.040	0.150	0.042	0.044	0.010	0.096	0.025	0.028	0.007	2
180-190	0.528	0.103	0.124	0.062	0.039	0.004	0.081	0.035	0.026	0.001	2
190-200	0.502	-	0.065	-	0.020	-	0.043	-	0.013	-	1
200-210	0.495	-	0.072	-	0.016	-	0.048	-	0.011	-	1

ตารางที่ 4.2 แสดงผลการวิเคราะห์ทางสถิติของ COMPRESSIBILITY PARAMETERS ของดินเหนียวแข็ง-
กรุงเทพมหานครช่วงความลึก 40-210 เมตร

สมการถดถอย	สัมประสิทธิ์สหสัมพันธ์	
	r	r ²
$e_o = 0.074 + 0.029W_n$	0.7703	0.5933
$C_c = -0.137 + 0.015W_n$	0.8085	0.6537
$C_r = -0.026 + 0.004W_n$	0.6812	0.4641
$CR = -0.017 + 0.005W_n$	0.7173	0.5145
$RR = 0.0001 + 0.0014W_n$	0.5906	0.3487
$e_o = 0.030 + 0.014LL$	0.7201	0.5185
$C_c = -0.079 + 0.005LL$	0.5682	0.3229
$C_r = -0.041 + 0.002LL$	0.8835	0.7805
$CR = 0.012 + 0.002LL$	0.4625	0.2139
$RR = -0.020 + 0.001LL$	0.8720	0.7604
$e_o = 0.096 + 0.027PL$	0.5434	0.2953
$C_c = 0.007 + 0.007PL$	0.3089	0.0954
$C_r = -0.035 + 0.004PL$	0.5627	0.3166
$CR = 0.050 + 0.002PL$	0.2137	0.0457
$RR = -0.007 + 0.002PL$	0.5371	0.2884
$e_o = 0.289 + 0.015PI$	0.6344	0.4025
$C_c = 0.003 + 0.006PI$	0.5584	0.3118
$C_r = -0.021 + 0.003PI$	0.8286	0.6865
$CR = 0.038 + 0.002PI$	0.4727	0.2234
$RR = -0.002 + 0.001PI$	0.8266	0.6833
$C_c = -0.072 + 0.356e_o$	0.7320	0.5358
$C_r = -0.030 + 0.120e_o$	0.8333	0.6944

ตารางที่ 4.3 แสดงผลการวิเคราะห์การถดถอยระหว่าง BASIC PROPERTIES-COMPRESSIBILITY PARAMETERS ของดินเหนียวแข็งกรุงเทพฯในช่วงความลึก 40-210 เมตร

หมายเหตุ แบบท่อนเส้นตรงตัวแปรเดียว , หน่วยของ BASIC PROPERTIES เป็น %

สมการถดถอย	สัมประสิทธิ์สหสัมพันธ์	
	r	r ²
$e_o = 1 / (2.633 - 0.047W_n)$	0.3530	0.1246
$C_c = 1 / (12.572 - 0.248W_n)$	0.4958	0.2458
$C_r = 1 / (50.130 - 1.140W_n)$	0.4834	0.2336
$CR = 1 / (18.174 - 0.297W_n)$	0.3937	0.1550
$RR = 1 / (72.586 - 1.455W_n)$	0.4260	0.1815
$e_o = 1 / (2.894 - 0.027LL)$	0.3900	0.1521
$C_c = 1 / (12.601 - 0.112LL)$	0.4335	0.1879
$C_r = 1 / (66.403 - 0.863LL)$	0.7102	0.5043
$CR = 1 / (17.831 - 0.125LL)$	0.3230	0.1043
$RR = 1 / (98.269 - 1.208LL)$	0.6862	0.4708
$e_o = 1 / (2.951 - 0.061PL)$	0.3438	0.1182
$C_c = 1 / (10.191 - 0.130PL)$	0.1949	0.0380
$C_r = 1 / (57.585 - 1.464PL)$	0.4660	0.2172
$CR = 1 / (13.704 - 0.079PL)$	0.0783	0.0061
$RR = 1 / (83.774 - 1.947PL)$	0.4279	0.1831
$e_o = 1 / (2.345 - 0.027PI)$	0.3198	0.1023
$C_c = 1 / (11.009 - 0.143PI)$	0.4456	0.1986
$C_r = 1 / (51.450 - 0.998PI)$	0.6594	0.4348
$CR = 1 / (16.435 - 0.176PI)$	0.3643	0.1327
$RR = 1 / (77.927 - 1.420PI)$	0.6479	0.4197
$C_c = 1 / (12.565 - 7.706e_o)$	0.5711	0.3262
$C_r = 1 / (52.314 - 38.710e_o)$	0.6092	0.3711

ตารางที่ 4.4 แสดงผลการวิเคราะห์การถดถอยระหว่าง BASIC PROPERTIES-COMPRESSIBILITY PARAMETERS ของดินเหนียวแข็งกรุงเทพฯในเข้่วงความลึก 40-210 เมตร

หมายเหตุ แบบหนึ่งซีฟรคอลตัวแปรเดียว , หน่วยของ BASIC PROPERTIES เป็น %

สมการถดถอย	สัมประสิทธิ์สหสัมพันธ์	
	r	r ²
$\log(eo) = -0.517 + 0.015Wn$	0.6426	0.4130
$\log(Cc) = -1.307 + 0.023Wn$	0.6675	0.4591
$\log(Cr) = -1.876 + 0.025Wn$	0.6137	0.3766
$\log(CR) = -1.385 + 0.016Wn$	0.5692	0.3239
$\log(RR) = -1.954 + 0.018Wn$	0.5299	0.2808
$\log(eo) = -0.561 + 0.008LL$	0.6366	0.4053
$\log(Cc) = -1.261 + 0.009LL$	0.5319	0.2829
$\log(Cr) = -2.168 + 0.017LL$	0.8394	0.7047
$\log(CR) = -1.325 + 0.006LL$	0.4061	0.1649
$\log(RR) = -2.232 + 0.014LL$	0.8081	0.6530
$\log(eo) = -0.542 + 0.016PL$	0.5082	0.2583
$\log(Cc) = -1.100 + 0.013PL$	0.2791	0.0779
$\log(Cr) = -1.983 + 0.029PL$	0.5442	0.2961
$\log(CR) = -1.178 + 0.006PL$	0.1571	0.0247
$\log(RR) = -2.061 + 0.022PL$	0.5006	0.2506
$\log(eo) = -0.408 + 0.008PI$	0.5475	0.2998
$\log(Cc) = -1.119 + 0.011PI$	0.5276	0.2784
$\log(Cr) = -1.870 + 0.020PI$	0.7827	0.6126
$\log(CR) = -1.247 + 0.008PI$	0.4298	0.1847
$\log(RR) = -1.997 + 0.016PI$	0.7646	0.5847
$\log(Cc) = -1.261 + 0.641eo$	0.7053	0.4975
$\log(Cr) = -1.922 + 0.832eo$	0.7713	0.5948

ตารางที่ 4.5 แสดงผลการวิเคราะห์ถดถอยระหว่าง BASIC PROPERTIES-COMPRESSIBILITY PARAMETERS ของดินเหนียวแข็งกรุงเทพฯ ในช่วงความลึก 40-210 เมตร

หมายเหตุ แบบหั่นเข็ม-ลอกตัวแปรเดียว , หน่วยของ BASIC PROPERTIES เป็น %

log หมายถึงลอการิทึม

สมการถดถอย	สัมประสิทธิ์สหสัมพันธ์	
	r	r ²
$\log(eo) = -1.333 + 0.872 \log(Wn)$	0.6450	0.4160
$\log(Cc) = -2.780 + 0.925 \log(Wn)$	0.4547	0.2067
$\log(Cr) = -3.202 + 1.408 \log(Wn)$	0.6245	0.3900
$\log(CR) = -2.101 + 0.805 \log(Wn)$	0.5062	0.2562
$\log(RR) = -2.926 + 1.029 \log(Wn)$	0.5438	0.2957
$\log(eo) = -1.624 + 0.863 \log(LL)$	0.6084	0.3701
$\log(Cc) = -4.027 + 1.483 \log(LL)$	0.6947	0.4827
$\log(Cr) = -4.641 + 1.980 \log(LL)$	0.8372	0.7009
$\log(CR) = -1.972 + 0.556 \log(LL)$	0.3337	0.1114
$\log(RR) = -4.259 + 1.617 \log(LL)$	0.8147	0.6638
$\log(eo) = -1.301 + 0.837 \log(PL)$	0.5136	0.2638
$\log(Cc) = -2.914 + 1.016 \log(PL)$	0.4142	0.1716
$\log(Cr) = -3.347 + 1.502 \log(PL)$	0.5526	0.3053
$\log(CR) = -1.409 + 0.270 \log(PL)$	0.1410	0.0199
$\log(RR) = -3.117 + 1.161 \log(PL)$	0.5094	0.2595
$\log(eo) = -0.823 + 0.456 \log(PI)$	0.4846	0.2348
$\log(Cc) = -2.849 + 0.928 \log(PI)$	0.6554	0.4296
$\log(Cr) = -2.997 + 1.187 \log(PI)$	0.7563	0.5720
$\log(CR) = -1.563 + 0.372 \log(PI)$	0.3365	0.1133
$\log(RR) = -2.945 + 0.990 \log(PI)$	0.7522	0.5658
$\log(Cc) = -0.664 + 0.862 \log(eo)$	0.6141	0.3771
$\log(Cr) = -1.139 + 1.160 \log(eo)$	0.6954	0.4836

ตารางที่ 4.6 แสดงผลการวิเคราะห์การถดถอยระหว่าง BASIC PROPERTIES-COMPRESSIBILITY PARAMETERS ของดินเหนียวแข็งกรุงเทพฯ ในช่วงความลึก 40-210 เมตร

หมายเหตุ: แบบหุ่นดับเบิลล็อกตัวแปรเดียว, หน่วยของ BASIC PROPERTIES เป็น %

log หมายถึง ลอการานสิบ

สมการถดถอย	สัมประสิทธิ์สหสัมพันธ์	
	r	r ²
$e_o = -0.061 + 0.019W_n + 0.007LL$	0.8110	0.6578
$C_c = -0.145 + 0.014W_n + 4.05 \times 10^{-4} LL$	0.8078	0.6525
$C_r = -0.066 + 0.001W_n + 0.002LL$	0.8777	0.7704
$CR = -0.014 + 0.006W_n - 0.145 \times 10^{-3} LL$	0.7420	0.5505
$RR = -0.020 + 1.55 \times 10^{-5} W_n + 0.001LL$	0.8530	0.7276
$e_o = 0.039 + 0.023W_n + 0.006PI$	0.7371	0.5433
$C_c = -0.144 + 0.013W_n + 0.001PI$	0.7719	0.5958
$C_r = -0.038 + 0.002W_n + 0.002PI$	0.6433	0.4138
$CR = -0.019 + 0.005W_n + 3.15 \times 10^{-4} PI$	0.6926	0.4797
$RR = -0.006 + 3.42 \times 10^{-4} W_n + 0.001PI$	0.5088	0.2589
$e_o = -0.031 + 0.019LL - 0.006PI$	0.8058	0.6493
$C_c = -0.054 + 0.003LL + 0.003PI$	0.4712	0.2220
$C_r = -0.061 + 0.002LL + 1.57 \times 10^{-4} PI$	0.7976	0.6361
$CR = 0.027 + 0.001LL + 0.002PI$	0.4009	0.1607
$RR = -0.018 + 0.001LL + 1.67 \times 10^{-4} PI$	0.8675	0.7525
$e_o = -0.098 + 0.019W_n + 0.010LL - 0.004PI$	0.8525	0.7268
$C_c = -0.105 + 0.014W_n - 0.003LL + 0.004PI$	0.9288	0.8627
$C_r = -0.064 + 0.001W_n + 0.002LL + 2.62 \times 10^{-4} PI$	0.8895	0.7912
$CR = 0.006 + 0.006W_n - 0.002LL + 0.002PI$	0.6109	0.3732
$RR = -0.018 + 2.78 \times 10^{-5} W_n + 9.11 \times 10^{-4} LL + 1.71 \times 10^{-4} PI$	0.8341	0.6958

ตารางที่ 4,7 แสดงผลการวิเคราะห์การถดถอยระหว่าง BASIC PROPERTIES-COMPRESSIBILITY PARAMETERS ของดินเหนียวแข็งกรุงเทพมหานครในช่วงความลึก 40-210 เมตร

หมายเหตุ แบบหุ้มเส้นตรงสองและสามตัวแปร , หน่วยของ BASIC PROPERTIES เป็น %

สมการถดถอย	สัมประสิทธิ์สหสัมพันธ์	
	r	r ²
$\log(eo) = -1.710 + 0.581 \log(Wn) + 0.458 \log(LL)$	0.6883	0.4737
$\log(Cc) = -2.511 + 1.076 \log(Wn) + 0.167 \log(LL)$	0.6266	0.3926
$\log(Cr) = -4.689 + 0.261 \log(Wn) + 1.803 \log(LL)$	0.8429	0.7105
$\log(CR) = -2.090 + 0.810 \log(Wn) - 0.010 \log(LL)$	0.5062	0.2562
$\log(RR) = -4.266 - 0.007 \log(Wn) + 1.627 \log(LL)$	0.8162	0.6662
$\log(eo) = -1.392 + 0.734 \log(Wn) + 0.174 \log(PI)$	0.6634	0.4401
$\log(Cc) = -2.430 + 1.052 \log(Wn) + 0.165 \log(PI)$	0.6322	0.3997
$\log(Cr) = -3.518 + 0.672 \log(Wn) + 0.929 \log(PI)$	0.7962	0.6339
$\log(CR) = -2.130 + 0.731 \log(Wn) + 0.092 \log(PI)$	0.5109	0.2610
$\log(RR) = -3.216 + 0.350 \log(Wn) + 0.856 \log(PI)$	0.7679	0.5896
$\log(eo) = -1.852 + 1.220 \log(LL) - 0.264 \log(PI)$	0.6221	0.3870
$\log(Cc) = -2.259 + 0.765 \log(LL) + 0.117 \log(PI)$	0.4644	0.2157
$\log(Cr) = -4.590 + 1.889 \log(LL) + 0.072 \log(PI)$	0.8367	0.7034
$\log(CR) = -1.800 + 0.281 \log(LL) + 0.206 \log(PI)$	0.3448	0.1189
$\log(RR) = -4.131 + 1.407 \log(LL) + 0.160 \log(PI)$	0.3023	0.0914
$\log(eo) = -1.862 + 0.560 \log(Wn) + 0.717 \log(LL) - 0.182 \log(PI)$	0.6935	0.4810
$\log(Cc) = -2.279 + 1.108 \log(Wn) - 0.231 \log(LL) + 0.280 \log(PI)$	0.6340	0.4020
$\log(Cr) = -4.595 + 0.274 \log(Wn) + 1.643 \log(LL) + 0.113 \log(PI)$	0.8437	0.7119
$\log(CR) = -1.815 + 0.847 \log(Wn) - 0.480 \log(LL) + 0.330 \log(PI)$	0.5238	0.2744
$\log(RR) = -4.131 + 0.011 \log(Wn) + 1.397 \log(LL) + 0.162 \log(PI)$	0.8182	0.6695

ตารางที่ 4.8 แสดงผลการวิเคราะห์การถดถอยระหว่าง BASIC PROPERTIES-COMPRESSIBILITY PARAMETERS ของดินเหนียวแข็งกรุงเทพฯในช่วงความลึก 40-210 เมตร

หมายเหตุ แบบหาค้นเบิ้ลสองและสามตัวแปร , หน่วยของ BASIC PROPERTIES เป็น %
log หมายถึงลอการิทึม

สมการถดถอย	สัมประสิทธิ์สหสัมพันธ์	
	r	r ²
$Q_u = 6.235 - 0.135 W_n$	0.2912	0.0817
$Q_u = 2.341 + 0.027 LL$	0.1261	0.0159
$Q_u = 2.044 + 0.073 PL$	0.1367	0.0187
$Q_u = 2.979 + 0.023 PI$	0.0889	0.0079
$Q_u = 1 / (0.755 - 0.014 W_n)$	0.2511	0.0630
$Q_u = 1 / (0.306 + 0.004 LL)$	0.1517	0.0230
$Q_u = 1 / (0.259 + 0.011 PL)$	0.1686	0.0284
$Q_u = 1 / (0.398 + 0.003 PI)$	0.1049	0.0110
$\log(Q_u) = 0.750 - 0.014 W_n$	0.2478	0.0614
$\log(Q_u) = 0.301 + 0.004 LL$	0.1553	0.0241
$\log(Q_u) = 0.254 + 0.011 PL$	0.1719	0.0295
$\log(Q_u) = 0.395 + 0.003 PI$	0.1078	0.0116
$\log(Q_u) = 1.484 - 0.782 \log(W_n)$	0.2742	0.0752
$\log(Q_u) = -0.256 + 0.446 \log(LL)$	0.1573	0.0247
$\log(Q_u) = -0.265 + 0.568 \log(PL)$	0.1794	0.0322
$\log(Q_u) = 0.270 + 0.151 \log(PI)$	0.0787	0.0062
$\log(Q_u) = 0.203 - 1.754 \log(W_n) + 1.539 \log(LL)$	0.5040	0.2540
$\log(Q_u) = 1.274 - 1.256 \log(W_n) + 0.599 \log(PI)$	0.3812	0.1453
$\log(Q_u) = -0.645 + 1.102 \log(LL) - 0.504 \log(PI)$	0.2012	0.0405
$\log(Q_u) = -0.260 - 1.785 \log(W_n) + 2.354 \log(LL) - 0.612 \log(PI)$	0.5265	0.2772

ตารางที่ 4.9 แสดงผลการวิเคราะห์ถดถอยระหว่าง BASIC PROPERTIES-UNCONFINED

COMPRESSIVE STRENGTH ของดินเหนียวแข็งกรุงเทพมหานครในช่วงความลึก 40-210 เมตร

หมายเหตุ แบบหั่นเส้นตรง-เส้นโค้งตัวแปรเดียว, สอง และสามตัวแปร

หน่วยของ BASIC PROPERTIES เป็น % , log หมายถึงลอการิทึม

หน่วยของ UNCONFINED COMPRESSIVE STRENGTH เป็น ksc

สมการถดถอย	สัมประสิทธิ์สหสัมพันธ์	
	r	r ²
$P'c = 17.356 - 0.310 Wn$	0.3956	0.1565
$P'c = 18.005 - 0.158 LL$	0.3513	0.1234
$P'c = 21.638 - 0.530 PL$	0.3948	0.1575
$P'c = 14.641 - 0.158 PI$	0.2309	0.0764
$P'c = 1 / (1.156 - 0.010 Wn)$	0.2345	0.0550
$P'c = 1 / (1.202 - 0.005 LL)$	0.2309	0.0533
$P'c = 1 / (1.338 - 0.019 PL)$	0.2675	0.0716
$P'c = 1 / (1.083 - 0.005 PI)$	0.1787	0.0319
$\log(P'c) = 1.221 - 0.012 Wn$	0.3204	0.1026
$\log(P'c) = 1.290 - 0.007 LL$	0.3282	0.1077
$\log(P'c) = 1.446 - 0.023 PL$	0.3670	0.1347
$\log(P'c) = 1.143 - 0.007 PI$	0.2599	0.0675
$\log(P'c) = 1.981 - 0.768 \log(Wn)$	0.3341	0.1116
$\log(P'c) = 2.347 - 0.834 \log(LL)$	0.3432	0.1178
$\log(P'c) = 2.388 - 1.086 \log(PL)$	0.3478	0.1210
$\log(P'c) = 1.717 - 0.542 \log(PI)$	0.3082	0.0950
$\log(P'c) = 2.352 - 0.406 \log(Wn) - 0.512 \log(LL)$	0.3625	0.1314
$\log(P'c) = 2.059 - 0.534 \log(Wn) - 0.278 \log(PI)$	0.3557	0.1265
$\log(P'c) = 2.637 - 1.318 \log(LL) + 0.369 \log(PI)$	0.3484	0.1214
$\log(P'c) = 2.477 - 0.375 \log(Wn) - 0.744 \log(LL) + 0.158 \log(PI)$	0.3632	0.1319

ตารางที่ 4.10 แสดงผลการวิเคราะห์การถดถอยระหว่าง BASIC PROPERTIES-MAXIMUM PAST

PRESSURE ของดินเหนียวแข็งกรุงเทพฯในช่วงความลึก 40-210 เมตร

หมายเหตุ

แบบหุ่นเส้นตรง-เส้นโค้งตัวแปรเดียว,สอง และสามตัวแปร

หน่วยของ BASIC PROPERTIES เป็น % , log หมายถึงลอการิทึม

หน่วยของ MAXIMUM PAST PRESSURE เป็น ksc

สมการถดถอย	สัมประสิทธิ์สหสัมพันธ์	
	r	r ²
$e_o = 0.074 + 0.029W_n$	0.7703	0.5933
$C_c = -0.137 + 0.015W_n$	0.8085	0.6537
$CR = -0.017 + 0.005W_n$	0.7173	0.5145
$e_o = 0.030 + 0.014LL$	0.7200	0.5185
$Cr = -0.041 + 0.002LL$	0.8835	0.7805
$RR = -0.020 + 0.001LL$	0.8720	0.7604
$Cr = -0.021 + 0.003PI$	0.8286	0.6865
$RR = -0.002 + 0.001PI$	0.8266	0.6833
$C_c = -0.072 + 0.356e_o$	0.7320	0.5358
$Cr = -0.030 + 0.120e_o$	0.8333	0.6944
$Cr = 1 / (66.403 - 0.863LL)$	0.7102	0.5043
$\log(Cr) = -2.168 + 0.017LL$	0.8394	0.7047
$\log(RR) = -2.232 + 0.014LL$	0.8081	0.6530
$\log(Cr) = -1.870 + 0.020PI$	0.7827	0.6126
$\log(RR) = -1.997 + 0.016PI$	0.7646	0.5847
$\log(C_c) = -1.261 + 0.641e_o$	0.7053	0.4975
$\log(Cr) = -1.922 + 0.832e_o$	0.7713	0.5948
$\log(Cr) = -4.641 + 1.980 \log(LL)$	0.8372	0.7009
$\log(Cr) = -2.997 + 1.187 \log(PI)$	0.7563	0.5720
$\log(RR) = -2.945 + 0.990 \log(PI)$	0.7522	0.5658

ตารางที่ 4.11 แสดงผลสรุปสมการถดถอยที่มีค่าสหสัมพันธ์ตั้งแต่ 0.7 ขึ้นไป

หมายเหตุ แบบเห็นเส้นตรง-เส้นโค้งตัวแปรเดียว

หน่วยของ BASIC PROPERTIES เป็น \times , \log หมายถึงลอการิทึม

สมการถดถอย	สัมประสิทธิ์สหสัมพันธ์	
	r	r ²
$e_o = -0.061 + 0.019W_n + 0.007LL$	0.8110	0.6578
$C_c = -0.145 + 0.014W_n + 4.05 \times 10^{-4} LL$	0.8078	0.6525
$C_r = -0.066 + 0.001W_n + 0.002LL$	0.8777	0.7704
$CR = -0.014 + 0.006W_n - 0.145 \times 10^{-3} LL$	0.7420	0.5505
$RR = -0.020 + 1.55 \times 10^{-3} W_n + 0.001LL$	0.8530	0.7276
$e_o = 0.039 + 0.023W_n + 0.006PI$	0.7371	0.5433
$C_c = -0.144 + 0.013W_n + 0.001PI$	0.7719	0.5958
$e_o = -0.031 + 0.019LL - 0.006PI$	0.8058	0.6493
$C_r = -0.061 + 0.002LL + 1.57 \times 10^{-4} PI$	0.7976	0.6361
$RR = -0.018 + 0.001LL + 1.67 \times 10^{-4} PI$	0.8675	0.7525
$e_o = -0.098 + 0.019W_n + 0.010LL - 0.004PI$	0.8525	0.7268
$C_c = -0.105 + 0.014W_n - 0.003LL + 0.004PI$	0.9288	0.8627
$C_r = -0.064 + 0.001W_n + 0.002LL + 2.62 \times 10^{-4} PI$	0.8895	0.7912
$RR = -0.018 + 2.78 \times 10^{-3} W_n + 9.11 \times 10^{-4} LL + 1.71 \times 10^{-4} PI$	0.8341	0.6958
$\log(C_r) = -4.689 + 0.261 \log(W_n) + 1.803 \log(LL)$	0.8429	0.7105
$\log(RR) = -4.266 - 0.007 \log(W_n) + 1.627 \log(LL)$	0.8162	0.6662
$\log(C_r) = -3.518 + 0.672 \log(W_n) + 0.929 \log(PI)$	0.7962	0.6339
$\log(RR) = -3.216 + 0.350 \log(W_n) + 0.856 \log(PI)$	0.7679	0.5896
$\log(C_r) = -4.590 + 1.889 \log(LL) + 0.072 \log(PI)$	0.8387	0.7034
$\log(C_r) = -4.595 + 0.274 \log(W_n) + 1.643 \log(LL) + 0.113 \log(PI)$	0.8437	0.7119
$\log(RR) = -4.131 + 0.011 \log(W_n) + 1.397 \log(LL) + 0.162 \log(PI)$	0.8182	0.6695

ตารางที่ 4.11 แสดงผลสรุปสมการถดถอยที่มีค่าสหสัมพันธ์ตั้งแต่ 0.7 ขึ้นไป (ต่อ)

หมายเหตุ: แบบหนึ่งเส้นตรง-เส้นโค้งสอง และสามตัวแปร

หน่วยของ BASIC PROPERTIES เป็น % , log หมายถึงลอการิทึม

สมการถดถอย	สัมประสิทธิ์สหสัมพันธ์	
	r	r ²
$Cc = -0.137 + 0.015 W_n$	0.8085	0.6537
$Cc = -0.072 + 0.356 e_o$	0.7320	0.5358
$Cc = -0.145 + 0.014 W_n + 4.05 \times 10^{-4} LL$	0.8078	0.6525
$Cc = -0.144 + 0.013 W_n + 0.001 PI$	0.7719	0.5958
$Cc = -0.105 + 0.014 W_n - 0.003 LL + 0.004 PI$	0.9288	0.8627
$\log(Cc) = -1.261 + 0.641 e_o$	0.7053	0.4975
$Cr = 1 / (66.403 - 0.863 LL)$	0.7102	0.5043
$Cr = -0.041 + 0.002 LL$	0.8835	0.7805
$Cr = -0.021 + 0.003 PI$	0.8286	0.6865
$Cr = -0.030 + 0.120 e_o$	0.8333	0.6944
$Cr = -0.066 + 0.001 W_n + 0.002 LL$	0.8777	0.7704
$Cr = -0.061 + 0.002 LL + 1.57 \times 10^{-4} PI$	0.7976	0.6361
$Cr = -0.064 + 0.001 W_n + 0.002 LL + 2.62 \times 10^{-4} PI$	0.8895	0.7912
$\log(Cr) = -2.168 + 0.017 LL$	0.8394	0.7047
$\log(Cr) = -1.870 + 0.020 PI$	0.7827	0.6126
$\log(Cr) = -1.922 + 0.832 e_o$	0.7713	0.5948
$\log(Cr) = -4.641 + 1.980 \log(LL)$	0.8372	0.7009
$\log(Cr) = -2.997 + 1.187 \log(PI)$	0.7563	0.5720
$\log(Cr) = -4.689 + 0.261 \log(W_n) + 1.803 \log(LL)$	0.8429	0.7105
$\log(Cr) = -3.518 + 0.672 \log(W_n) + 0.929 \log(PI)$	0.7962	0.6339
$\log(Cr) = -4.590 + 1.889 \log(LL) + 0.072 \log(PI)$	0.8387	0.7034
$\log(Cr) = -4.595 + 0.274 \log(W_n) + 1.643 \log(LL) + 0.113 \log(PI)$	0.8437	0.7119

ตารางที่ 4.12 แสดงผลเปรียบเทียบแบบที่สมการถดถอยของ COMPRESSION INDEX และ

RECOMPRESSION INDEX กับค่าสหสัมพันธ์

หมายเหตุ

* หมายถึงสมการที่เหมาะสมที่สุด , หน่วยของ BASIC PROPERTIES เป็น %
log หมายถึงลอการิทึม

สมการถดถอย	สัมประสิทธิ์สหสัมพันธ์	
	r	r ²
CR = -0.017 + 0.005 W _n	0.7173	0.5145
CR = -0.014 + 0.006 W _n - 0.145x10 ⁻³ LL *	0.7420	0.5505
RR = -0.020 + 0.001 LL *	0.8720	0.7604
RR = -0.002 + 0.001 PI	0.8266	0.6833
RR = -0.020 + 1.55x10 ⁻³ W _n + 0.001 LL	0.8530	0.7276
RR = -0.018 + 0.001 LL + 1.67x10 ⁻¹ PI	0.8675	0.7525
RR = -0.018 + 2.78x10 ⁻³ W _n + 9.11x10 ⁻¹ LL + 1.71x10 ⁻¹ PI	0.8341	0.6958
log(RR) = -2.232 + 0.014 LL	0.8081	0.6530
log(RR) = -1.997 + 0.016 PI	0.7646	0.5847
log(RR) = -2.945 + 0.990 log(PI)	0.7522	0.5658
log(RR) = -4.266 - 0.007 log(W _n) + 1.627 log(LL)	0.8162	0.6662
log(RR) = -3.216 + 0.350 log(W _n) + 0.856 log(PI)	0.7679	0.5896
log(RR) = -4.131 + 0.011 log(W _n) + 1.397 log(LL) + 0.162 log(PI)	0.8182	0.6695

ตารางที่ 4.13 แสดงผลเปรียบเทียบแบบที่สมการถดถอยของ COMPRESSION RATIO และ

RECOMPRESSION RATIO กับค่าสหสัมพันธ์

หมายเหตุ * หมายถึงสมการที่เหมาะสมที่สุด , หน่วยของ BASIC PROPERTIES เป็น %
log หมายถึงลอการิทึม

สมการถดถอย	สัมประสิทธิ์สหสัมพันธ์	
	r	r ²
$e_o = 0.074 + 0.029 W_n$	0.7703	0.5933
$e_o = -0.061 + 0.019 W_n + 0.007 LL$	0.8110	0.6578
$e_o = 0.039 + 0.023 W_n + 0.006 PI$	0.7371	0.5433
$e_o = -0.031 + 0.019 LL - 0.006 PI$	0.8058	0.6493
$e_o = -0.098 + 0.019 W_n + 0.010 LL - 0.004 PI *$	0.8525	0.7268

ตารางที่ 4.14 แสดงผลเปรียบเทียบแบบห้สมการถดถอยของ INITIAL VOID RATIO กับค่าสหสัมพันธ์

หมายเหตุ * หมายถึงสมการที่เหมาะสมที่สุด , หน่วยของ BASIC PROPERTIES เป็น %

สมการถดถอย	สัมประสิทธิ์สหสัมพันธ์	
	r	r ²
$C_c = 0.3223(W_n/LL) , LL \neq 0$	0.5043	0.2543
$C_c = 0.2328(PI/LL) , LL \neq 0$	0.3621	0.1311
$C_r = 0.0672(PI/LL) , LL \neq 0$	0.5096	0.2597
$CR = 0.1904(W_n/LL) , LL \neq 0$	0.1957	0.0383
$CR = 0.1603(PI/LL) , LL \neq 0$	0.3891	0.1514
$RR = 0.0434(PI/LL) , LL \neq 0$	0.6391	0.4084

ตารางที่ 4.15 แสดงผลการวิเคราะห์การถดถอยระหว่าง BASIC PROPERTIES RATIO-COMPRESSI-

BILITY PARAMETERS ของดินเหนียวแข็งกรงเหนียวช่วงความลึก 40-210 เมตร

สมการถดถอย	สัมประสิทธิ์สหสัมพันธ์	
	r	r ²
$Su/P'c = 0.1553 + 0.0146eo$	0.0283	0.0008
$Su/P'c = 0.1798 - 0.0812Cc$	0.0700	0.0049
$Su/P'c = 0.1170 + 0.9446Cr$	0.2135	0.0456
$Su/P'c = 0.1949 - 0.2907CR$	0.1127	0.0127
$Su/P'c = 0.0851 + 2.7415RR$	0.2757	0.0760
$P'c/Su = 10.5161 - 1.9450eo$	0.0714	0.0051
$P'c/Su = 9.0227 + 0.7792Cc$	0.0141	0.0002
$P'c/Su = 12.9354 - 73.5446Cr$	0.3205	0.1027
$P'c/Su = 9.0456 + 11.0011CR$	0.0819	0.0067
$P'c/Su = 14.9498 - 197.387RR$	0.3828	0.1465
$10^{(Su/P'c)} = 1.4706 + 0.0690eo$	0.0300	0.0009
$10^{(Su/P'c)} = 1.5871 - 0.3891Cc$	0.0774	0.0060
$10^{(Su/P'c)} = 1.3330 + 3.6158Cr$	0.1905	0.0363
$10^{(Su/P'c)} = 1.6476 - 1.2728CR$	0.1149	0.0132
$10^{(Su/P'c)} = 1.2086 + 10.5691RR$	0.2478	0.0614
$\log(P'c/Su) = 0.9154 - 0.0614eo$	0.0458	0.0021
$\log(P'c/Su) = 0.8537 + 0.1074Cc$	0.0361	0.0013
$\log(P'c/Su) = 1.0341 - 3.1451Cr$	0.2766	0.0765
$\log(P'c/Su) = 0.8100 + 0.6185CR$	0.0933	0.0087
$\log(P'c/Su) = 1.1292 - 8.7459RR$	0.3423	0.1172

ตารางที่ 4.16 แสดงผลการวิเคราะห์การถดถอยระหว่าง COMPRESSIBILITY PARAMETERS กับ

MAXIMUM PAST PRESSURE-UNDRAINED SHEAR STRENGTH RATIO ของดิน-

เหนียวแข็งกรงเทพในช่วงความลึก 40-210 เมตร

หมายเหตุ $10^{(Su/P'c)}$ หมายถึง สิบยกกำลัง $Su/P'c$, \log หมายถึงลอการิทึม

ผลการวิเคราะห์การถดถอยในรูปไร้หน่วย (DIMENSIONLESS) ระหว่าง BASIC PROPERTIES RATIO กับ COMPRESSIBILITY PARAMETERS, ระหว่าง COMPRESSIBILITY PARAMETERS กับ MAXIMUM PAST PRESSURE/UNDRAINED SHEAR STRENGTH RATIO และระหว่าง COMPRESSIBILITY PARAMETERS กับ UNDRAINED SHEAR STRENGTH / MAXIMUM PAST PRESSURE RATIO แสดงดังตารางที่ 4.15 และ 4.16 ตามลำดับ ส่วนแผนภาพกระจาย (SCATTER DIAGRAM) เส้นการถดถอย (REGRESSION LINE) สมการถดถอย (REGRESSION EQUATION) และสัมประสิทธิ์สหสัมพันธ์ (COEFFICIENT OF CORRELATION, r) ของแต่ละสมการความสัมพันธ์ ของการถดถอยแบบเส้นตรงแสดงดังรูปที่ ข-31 ถึงรูปที่ ข-56 ในภาคผนวก ข.

ผลการวิเคราะห์การถดถอยแบบเส้นตรงและเส้นโค้งตัวแปรเดียว แสดงดังตารางที่ 4.3 ถึงตารางที่ 4.6 ตารางที่ 4.7 เป็นตารางผลการวิเคราะห์การถดถอยแบบเส้นตรง สองและสามตัวแปร

ตารางที่ 4.8 เป็นตารางผลการวิเคราะห์การถดถอยแบบกึ่งดับเบิ้ลล็อก (DOUBLE LOG MODEL) สองและสามตัวแปร

ตารางที่ 4.9 เป็นตารางแสดงผลการวิเคราะห์การถดถอยระหว่าง BASIC PROPERTIES กับ UNCONFINED COMPRESSIVE STRENGTH ของแบบกึ่งเส้นตรงและเส้นโค้ง พบว่าค่าสัมประสิทธิ์สหสัมพันธ์ (r) ค่อนข้างต่ำ แสดงว่าความสัมพันธ์ระหว่าง BASIC PROPERTIES กับ UNCONFINED COMPRESSIVE STRENGTH มีน้อยมากจนหาแนวโน้มที่ถูกต้องไม่ได้

ตารางที่ 4.10 เป็นตารางแสดงผลการวิเคราะห์การถดถอยระหว่าง BASIC PROPERTIES กับ MAXIMUM PAST PRESSURE ของแบบกึ่งเส้นตรงและเส้นโค้ง พบว่าค่าสัมประสิทธิ์สหสัมพันธ์ (r) ค่อนข้างต่ำ เช่นเดียวกับความสัมพันธ์ระหว่าง BASIC PROPERTIES กับ UNCONFINED COMPRESSIVE STRENGTH

ตารางที่ 4.11 แสดงผลสรุปสมการถดถอยที่มีค่าสหสัมพันธ์ (r) ตั้งแต่ 0.7 ขึ้นไป ซึ่งมีค่าสัมประสิทธิ์สหสัมพันธ์ (r) ต่ำสุดเท่ากับ 0.7053 และสูงสุดเท่ากับ 0.9288

ตารางที่ 4.12, 4.13, 4.14 แสดงผลเปรียบเทียบสมการถดถอยของ COMPRESSION INDEX - RECOMPRESSION INDEX, COMPRESSION RATIO - RECOMPRESSION RATIO, และ INITIAL VOID RATIO ตามลำดับ

ตารางที่ 4.15 แสดงผลการวิเคราะห์การถดถอยในรูปไร้หน่วย (DIMENSIONLESS) ระหว่าง BASIC PROPERTIES RATIO กับ COMPRESSIBILITY PARAMETERS ซึ่งค่าสัมประสิทธิ์สหสัมพันธ์ (r) มีค่าค่อนข้างต่ำ

ตารางที่ 4.16 แสดงผลการวิเคราะห์การถดถอยในรูปไร้หน่วย (DIMENSIONLESS) ระหว่าง COMPRESSIBILITY PARAMETERS กับ MAXIMUM PAST PRESSURE/UNDRAINED SHEAR STRENGTH RATIO และระหว่าง COMPRESSIBILITY PARAMETERS กับ UNDRAINED SHEAR STRENGTH/ MAXIMUM PAST PRESSURE RATIO ซึ่งค่าสัมประสิทธิ์สหสัมพันธ์ (r) มีค่าค่อนข้างต่ำเช่นกัน

ผลของการวิจัยนี้สามารถสรุปเป็นหัวข้อได้ดังต่อไปนี้

1. สมการถดถอยที่จะนำไปใช้อ้างอิงควรเลือกสมการที่มีค่าสหสัมพันธ์ (r) ตั้งแต่ 0.7 ขึ้นไป ทั้งนี้เนื่องจากค่าดังกล่าวจะให้ค่า r^2 ประมาณ 0.5 ขึ้นไป ซึ่งอธิบายได้ว่าค่าตัวแปรตามที่ได้จากสมการนี้มีความคลาดเคลื่อนเนื่องจากตัวแปรอิสระอยู่ 50 %
2. สมการถดถอยที่วิเคราะห์ได้นี้ใช้ได้กับทุก ๆ ความลึกของดินเหนียวแข็งที่อยู่ระดับต่ำกว่าชั้นทรายชั้นแรก (ช่วงความลึกประมาณ 40 เมตรลงไป)
3. แนวโน้มของสมการความสัมพันธ์เป็นแบบเส้นตรง คือ แบบทึบเส้นตรงจะให้ค่าความสัมพันธ์สูงกว่าแบบทึบเส้นโค้ง และค่าความสัมพันธ์จะมีมากขึ้นเมื่อจำนวนตัวแปรอิสระมากขึ้น
4. BASIC PROPERTIES ที่มีความสัมพันธ์กับ COMPRESSIBILITY PARAMETERS มากที่สุดคือ w_n และ LL
5. จากการวิเคราะห์โดยแบบทึบตัวแปรเดียวทั้งแบบเส้นตรงและเส้นโค้งพบว่า ค่า PL มีค่าความสัมพันธ์กับพารามิเตอร์อื่น ๆ น้อยมาก จึงไม่นำไปวิเคราะห์ในกรณีแบบทึบหลายตัวแปร
6. BASIC PROPERTIES มีค่าความสัมพันธ์กับ Q_u , $P'c$ ค่อนข้างต่ำ ($r < 0.7$)
7. การเลือกสมการที่เหมาะสมที่สุดจะดูจากค่า r^2 สูงสุด โดยคำนึงถึงความยากง่ายในการวิเคราะห์หาสมการด้วย เช่น กรณีสมการ $C_r = -0.041 + 0.002 LL$, $r^2 = 0.7805$ กับสมการ $C_r = -0.064 + 0.001 w_n + 0.002 LL + 2.62 \times 10^{-4} PI$, $r^2 = 0.7912$ สมการ $C_r = f(w_n, LL, PI)$ ให้ค่า r^2 เพิ่มขึ้น $0.7912 - 0.7805 =$

0.0107 หรือเท่ากับ 1.07 % แต่การคำนวณหาสมการยุ่งยากมากกว่า ดังนั้นสมการที่น่าจะเหมาะสมที่สุดคือ $C_u = -0.041 + 0.002 LL$

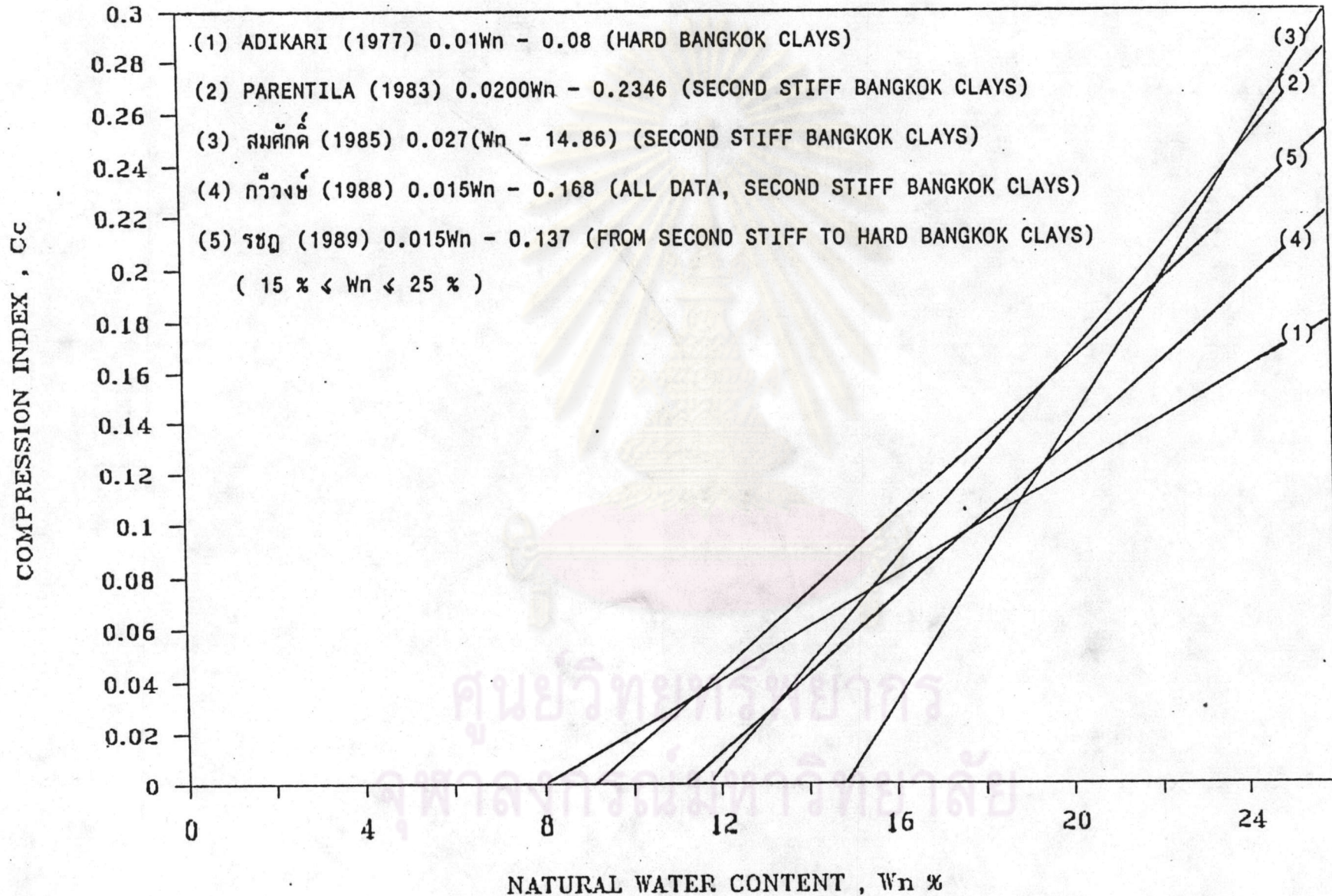
4.5 เปรียบเทียบผลการวิจัยกับผลการวิจัยในอดีต

ผลเปรียบเทียบการวิจัยครั้งนี้กับการวิจัยในอดีต แสดงดังรูปที่ 4.2 4.3 และ 4.4 รูปที่ 4.2 แสดงผลเปรียบเทียบความสัมพันธ์ระหว่าง $C_c - w_n$ ของดิน STIFF - HARD CLAY พบว่าความสัมพันธ์ของการวิจัยครั้งนี้มีค่าใกล้เคียงกับความสัมพันธ์ของ ADIKARI (1977) และกวีวงษ์ (1988) ก่อนข้างแตกต่างจากของ PARENTILA (1983) และ สมศักดิ์ (1985)

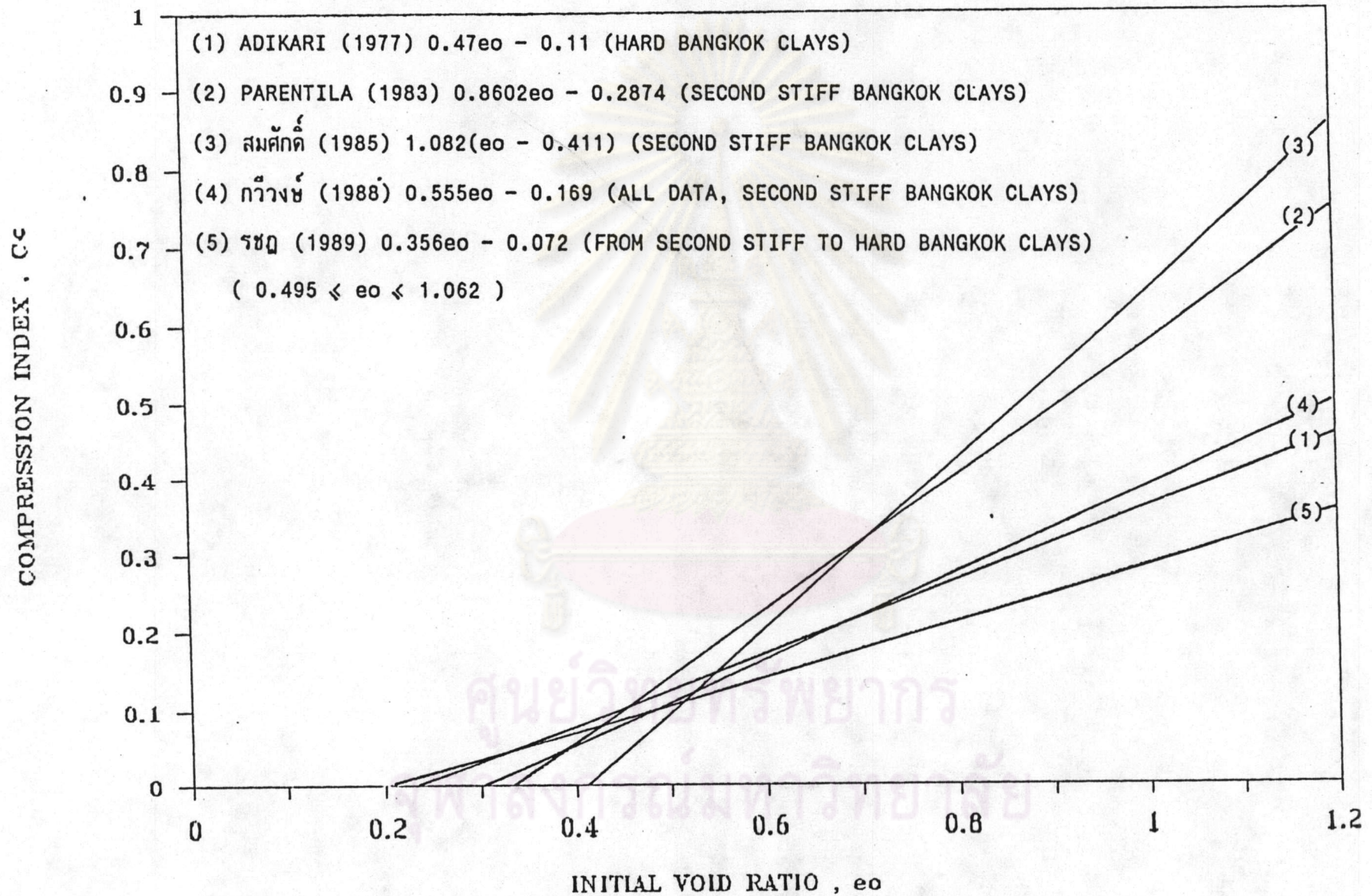
รูปที่ 4.3 แสดงผลเปรียบเทียบความสัมพันธ์ระหว่าง $C_c - e_o$ ของดิน STIFF - HARD CLAY พบว่าความสัมพันธ์ของการวิจัยครั้งนี้มีค่าใกล้เคียงกับความสัมพันธ์ของ ADIKARI (1977) และกวีวงษ์ (1988) แต่แตกต่างจากของ PARENTILA (1983) และสมศักดิ์ (1985)

รูปที่ 4.4 แสดงผลเปรียบเทียบความสัมพันธ์ระหว่าง $CR - w_n$ ของดิน STIFF - HARD CLAY พบว่าความสัมพันธ์ของการวิจัยครั้งนี้มีค่าแตกต่างจากของ PARENTILA (1983) และสมศักดิ์ (1985)

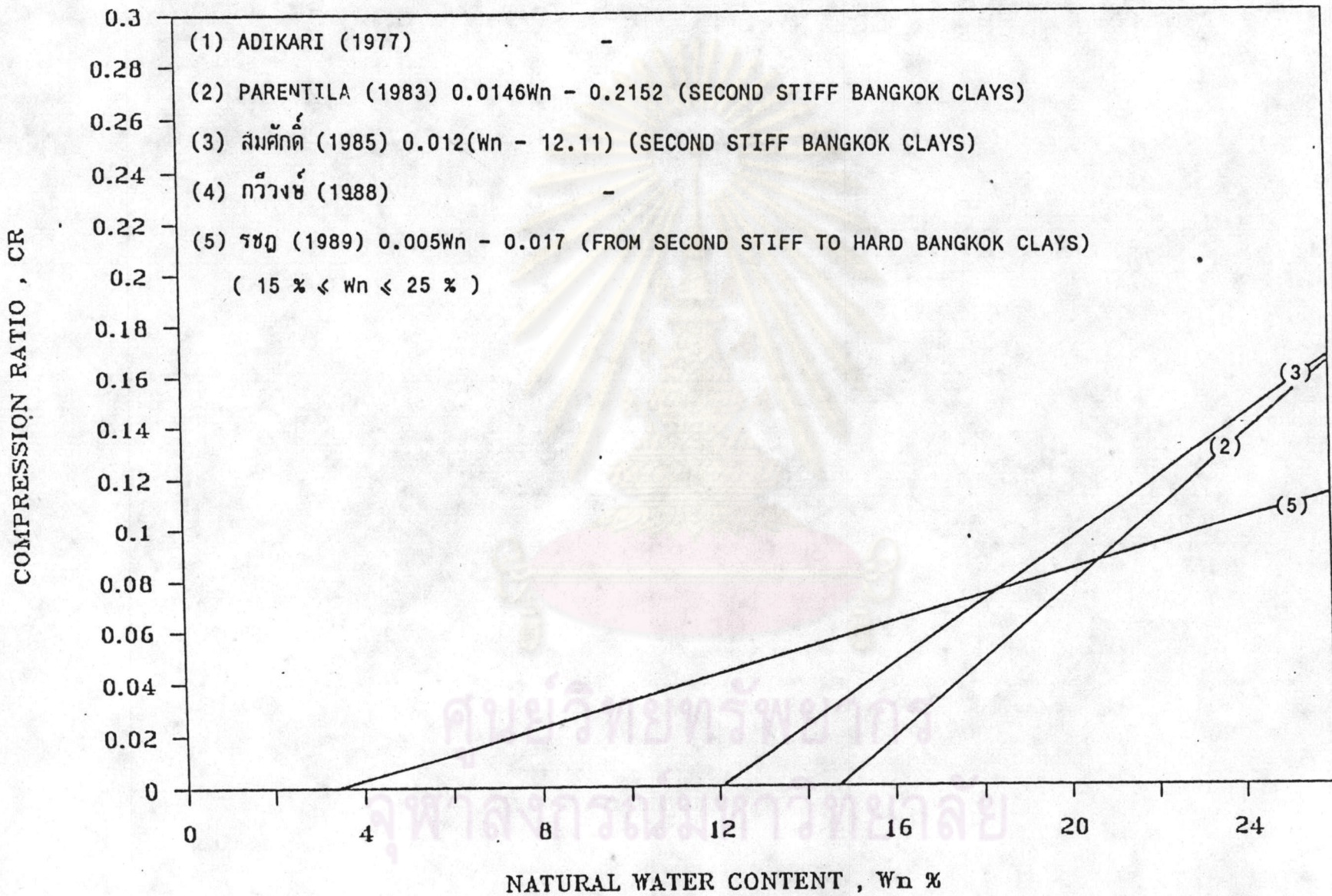
ศูนย์วิทยทรัพยากร
จุฬาลงกรณ์มหาวิทยาลัย



รูปที่ 4.2 เปรียบเทียบความสัมพันธ์ระหว่าง C_c - W_n กับการวิจัยในอดีต



รูปที่ 4.3 เปรียบเทียบความสัมพันธ์ระหว่าง C_c - e_o กับการวิจัยในอดีต



รูปที่ 4.4 เปรียบเทียบความสัมพันธ์ระหว่าง CR- W_n กับการวิจัยในอดีต.